

УДК 552.32.6(470.21)

ПРОТЕРОЗОЙСКИЕ ПРОЦЕССЫ МАНТИЙНО-КОРОВОГО ВЗАИМОДЕЙСТВИЯ В АРХЕЙСКОМ ФУНДАМЕНТЕ ПЕЧЕНГСКОГО ПАЛЕОРИФТА

© 2003 г. В. Р. Ветрин, А. А. Деленицин

Представлено академиком О.А. Богатиковым 16.01.2003 г.

Поступило 05.11.2002 г.

Формирование континентальных рифтов сопровождалось деструкцией сиалического фундамента и внедрением в верхнюю кору огромных объемов основных–ультраосновных расплавов, разнообразие которых зависело от состава астеносферного источника, глубины генерации магм и мощности земной коры. В небольшом количестве среди магматических пород рифтов присутствуют дациты, риолиты и их интрузивные эквиваленты, образование которых связывается с участием в петрогенезисе вещества верхних частей литосферы.

Благоприятным объектом для исследования процессов мантийно-корового взаимодействия при формировании Печенгского палеорифта, расположенного в северной части Балтийского щита, являются архейские породы его фундамента, вскрытые разрезом Кольской сверхглубокой скважины (КСГС) на глубинах 6842–12261 м. В отличие от приповерхностных ассоциаций породы архейского комплекса КСГС интенсивно изменены процессами протерозойского магматизма и метасоматоза, связанными с формированием Печенгской структуры. К их числу относятся: внедрение многочисленных тел основного состава, регрессивный метаморфизм и гранитизация пород, а также образование интрузивных тел постскладчатых гранитов.

А м ф и б о л и т ы. Породы основного состава, представленные в настоящее время разнообразными амфиболитами, составляют около 30% объема архейского комплекса КСГС. Их преобладающая часть ($\geq 80\%$) относится к породам дайковой фации, которыми были образованы, вероятно, подводящие каналы для эффузивов Печенги. Эволюция состава последних определялась сменной андезито-базальтов, трахиандезито-базальтов и трахибазальтов (маярвинская и пирттияр-

винская свиты) толеитовыми базальтами, базальтами и ферропикрит-базальтами заполярнинской и матерской свит [1].

По нормативному составу амфиболиты дайковой фации соответствуют оливиновым или кварцевым толеитам с умеренно фракционированным распределением РЗЭ при повышенном содержании легких лантаноидов ($(La/Yb)_n = 4.6-6.9$, рис. 1). От обогащенных редкоземельными элементами базальтов ТН2 архейских зеленокаменных поясов [2] породы дайковой фации отличаются более высокими содержаниями РЗЭ, Fe_2O_3 , TiO_2 , V и пониженными концентрациями MgO и Cr. Среди метаэффузивов Печенги по содержанию РЗЭ и других редких элементов наиболее сходный состав с амфиболитами КСГС имеют меланократовые базальты заполярнинской свиты и трахибазальты пирттиярвинской свиты. В то же время последние характеризуются повышенными концентрациями Al_2O_3 , Na_2O и пониженными – CaO и MgO при близких с амфиболитами содержаниях SiO_2 , что противоречит предположению о происхождении изученных амфиболитов дайковой фации и базальтов пирттиярвинской свиты при дифференциации единого расплава. Наиболее сходны по составу с амфиболитами КСГС базальты заполярнинской свиты, сформировавшиеся из относительно малоглубинного деплетированного мантийного источника с возрастом около 2.1 млрд. лет [1].

Архейские амфиболиты обрамления скважины и аналогичные породы в разрезе КСГС по нормативному составу соответствуют главным образом оливиновым толеитам и в меньшем количестве – щелочным базальтам и кварцевым толеитам. Амфиболиты характеризуются пониженными концентрациями легких лантаноидов и пологим распределением РЗЭ ($(La/Yb)_n = 0.7-2.0$), чем резко отличаются от протерозойских амфиболитов в архейском комплексе КСГС, но сходны с ТН1 – наиболее распространенными базальтами архейских зеленокаменных поясов [2] и с толеитовыми базальтами современных зон субдукции

Геологический институт Кольского научного центра
Российской Академии наук,
Апатиты Мурманской обл.

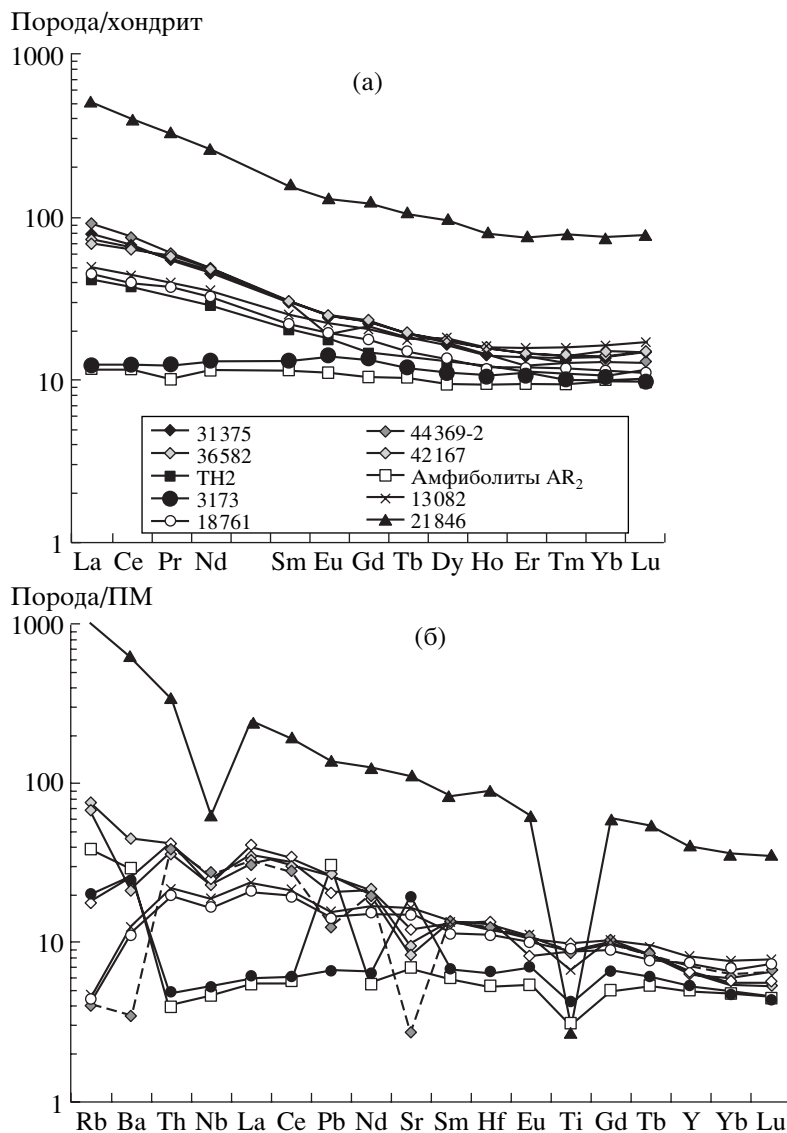


Рис. 1. Нормированные к хондриту (а) и примитивной мантии (б) концентрации РЗЭ и редких элементов в амфиболитах дайковой фации КСГС (обр. 31375, 36582, 44369-2, 42167). TH2 – толеиты архейских зеленокаменных поясов [2], амфиболиты AR₂ – средний состав амфиболитов окружения скважины. Обр. 3173, 13082, 18761, 21846 – базальты соответственно матертской, заполярнинской, пиргтиярвинской и маярвинской свит Печенгской структуры. ПМ – примитивная мантия.

[3]. Исключение составляют амфиболиты обр. 107/99 и 105-2/99, обогащенные легкими РЗЭ, Rb, Ba, Pb и Sr (рис. 2), что является, скорее всего, результатом их интенсивной гранитизации (K₂O 3.2–5.4%, SiO₂ до 51.3%).

Сходство эффузивов палеопротерозойской Печенгской структуры с амфиболитами из архейского комплекса КСГС, выявленное при сравнении составов этих пород, подтверждается и при изучении в них Sm–Nd-изотопной системы. Модельный возраст амфиболитов, вычисленный исходя из предположения о деплетированном составе мантии региона ($T_{Nd}(DM)$), составляет 2.16–2.33 млрд. лет (табл. 1), чем определяется нижний

возрастной предел образования протолитов. Учитывая сходство составов рассматриваемых амфиболитов с metabазальтами заполярнинской свиты Печенги, время образования которых оценивается в 2114 ± 52 млн. лет [4], такой же возраст мы принимаем и для проанализированных амфиболитов. Величина $\epsilon_{Nd(2114)}$ в амфиболитах составляет 0.77–2.69, что приближается или ниже значения $\epsilon_{Nd} \sim 3.5$ для деплетированной мантии с возрастом 2.1 млрд. лет [5]. Близкие значения ϵ_{Nd} (0.70–2.77) установлены и для образцов метапироксениста и метагаббро, аналогичных породам дайковых комплексов из обрамления Печенги с возрастными

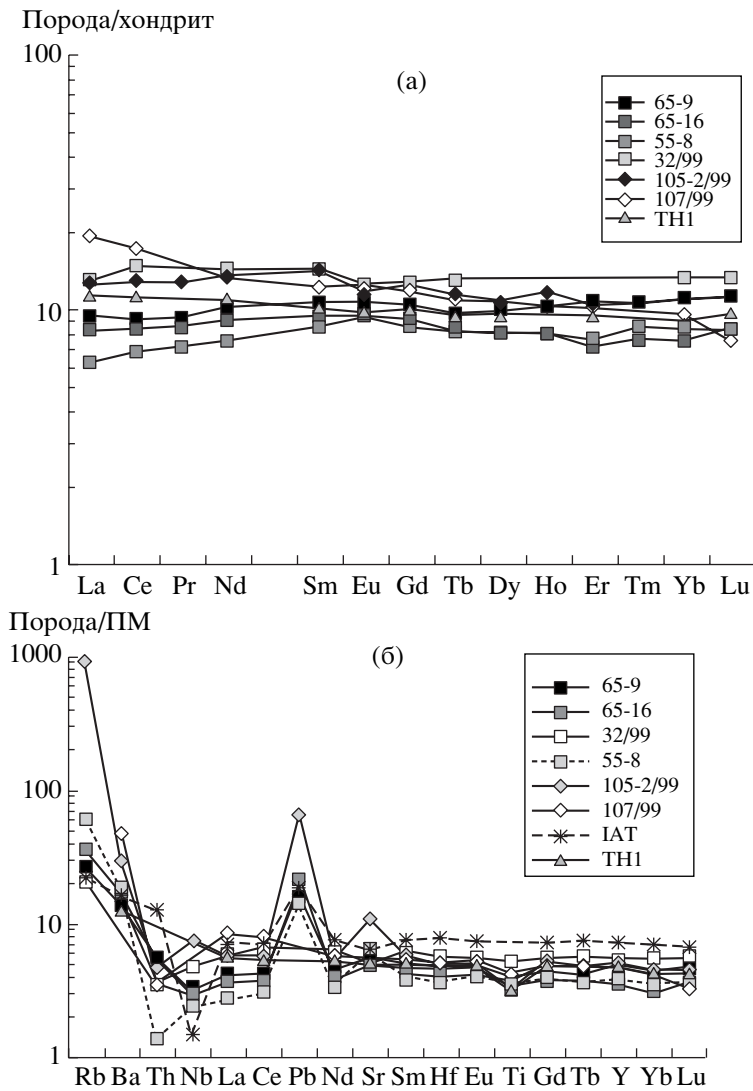


Рис. 2. Нормированные к хондриту (а) и примитивной мантии (б) концентрации редких элементов в амфиболитах окрестности скважины. TH1 – толеиты архейских зеленокаменных поясов [2]. IAT – толеитовые базальты островной дуги Южных Сандвичевых островов [3].

соответственно 1956 и 2200 млн. лет [4]. Интерпретация пониженных значений ϵ_{Nd} обычно производится исходя из предположения об обогащенной природе источника, либо вследствие контаминации расплавов веществом верхней коры [6]. Последнему варианту противоречат пониженные концентрации Rb, Ba, Pb в базальтах заполярной свиты. Следовательно, вычисленные значения ϵ_{Nd} отражают, скорее всего, формирование исходных расплавов из деплетированных мантийных источников, в различной степени обогащенных некогерентными элементами.

Амфиболиты окружения скважины имели деплетированный или сильно деплетированный ($\epsilon_{Nd} = 2.15-3.3$) состав источника для возраста 2.84 млрд. лет (см. табл. 1). Отрицательное значение ϵ_{Nd} (-0.48) для обр. 105-2/99 обусловлено, вероят-

но, нарушением Sm–Nd-изотопной системы в процессе калиевого метасоматоза пород.

Метаморфизм и гранитизация. Процесс протерозойской гранитизации по времени был близок с регрессивным метаморфизмом амфиболитовой и эпидот-амфиболитовой фаций. Гранитизация проявлена локально лишь под Печенгским палеорифтом и в его ближайшем окружении и по отношению к вмещающим метаморфическим породам представляла собой резко неравновесный и неизохимический процесс, сопровождавшийся выносом Al_2O_3 , CaO, Na_2O и привносом SiO_2 , TiO_2 , Fe_2O_3 , FeO, K_2O и ряда элементов примесей (Rb, Ba, Nb, Zr, РЗЭ, Pb, Cu, Cr, Ni, Co, V, F, Pb, CO_2), характерных для пород повышенной щелочности. Изучение изотопного состава нерадиогенного свинца в породах и минера-

Таблица 1. Sm–Nd-изотопные данные для амфиболитов КСГС и амфиболитов и гранитов окружения скважины

№ обр.	Объект, породы	[Sm], ppm	[Nd], ppm	$^{147}\text{Sm}/^{144}\text{Nd}$	$^{143}\text{Sm}/^{144}\text{Nd} \pm 2\sigma$	$T(\text{DM})$, млн. лет	$\epsilon_{\text{Nd}}(\text{DM})$	T , млн. лет
44369-2	КСГС, породы дайковой фации	4.7	22.56	0.12605	0.511695 ± 4	2334	0.77	2114
42167		5.6	26.90	0.12582	0.511790 ± 9	2160	2.69	2114
31375		5.32	25.37	0.12683	0.511775 ± 3	2212	2.12	2114
43745	КСГС, метагаббро	2.67	14.17	0.11407	0.511583 ± 4	2222	2.77	2200
9608	КСГС, метапироксенит	6.69	32.92	0.12283	0.511724 ± 4	2200	0.7	1956
55-8	Амфиболиты окружения скважины	1.66	4.87	0.20591	0.512922 ± 38		2.15	2840
65-9		2.04	6.10	0.20272	0.512920 ± 6		3.29	2840
105-2		2.35	7.14	0.19883	0.512655 ± 16		–0.48	2825
1/99	Жильный гранит	28.44	227.376	0.075597	0.510822 ± 7	2442	–8.10	1762
2/99	Порфириовидный гранит	11.03	87.302	0.076405	0.510849 ± 5	2426	–7.60	1772

Примечание. Измерения выполнены на масс-спектрометре “Finnigan MAT-262”. Значение стандартов La Jolla $^{143}\text{Nd}/^{144}\text{Nd} = 0.511833 \pm 6$ ($n = 11$) и JNd1 = 0.512078 ± 5 ($n = 10$). Вычисления $T(\text{DM})$ произведены в соответствии с моделью Де Паоло [5]. Модельный возраст для обр. 55-8 и 65-9 и 105-2 не рассчитан из-за повышенных значений $^{147}\text{Sm}/^{144}\text{Nd}$, вследствие чего погрешности оценок $T(\text{DM})$ многократно возрастают. T – значения возраста по данным U–Pb- и Rb–Sr-методов, принятые при вычислении $\epsilon_{\text{Nd}}(\text{DM})$.

лах мигматитов указывает на смешение древнего Pb (с возрастом 2.8 млрд. лет), развивавшегося при низких U/Pb- и высоких Th/U-отношениях в области нижней коры, с более молодым Pb (~2.2 млрд. лет) мантийного генезиса, эволюция которого проходила при более высоких U/Pb- и более низких Th/U-отношениях [7]. Образование гранитизированных пород предполагается при воздействии на гнейсы и амфиболиты верхней коры глубинных флюидов, отделившихся при кристаллизации очагов мантийных расплавов, продуцировавших субщелочные вулканы пиритгарвинской свиты с возрастом 2.3–2.2 млрд. лет. Потоки флюидов, направленные из кристаллизующейся магмы в кровлю очага, вызывали процессы гранитизации пород верхней коры, обусловленные осаждением из флюидов главных и второстепенных компонентов в результате падения их растворимости при уменьшении температуры и давления. Возраст гранитизированных пород оценивается в 2225–2150 млн. лет, и продолжительность процесса гранитизации – в 50–70 млн. лет [7].

Постскладчатые граниты. На глубине 9100–11 200 м в породах архейского комплекса КСГС располагаются многочисленные дайковые тела мелкозернистых гранитов мощностью от первых сантиметров до 10–15 м, по составу аналогичные порфириовидным гранитам 4-й фазы Личко-арагубского комплекса, образующим цепь посторогенных интрузивных тел в восточном обрамлении Печенги. Конкордантный U–Pb-возраст цирконов из мелкозернистых гранитов с глубин 9100–9700 м установлен в 1765 ± 2 млн. лет [1], и

$\epsilon_{\text{Nd}(1765)}$ для этого образца составляет -11.0 [8]. Повышенные отрицательные значения ϵ_{Nd} (–7.6–8.1) определены и для образцов гранитов с поверхности (см. табл. 1), что может свидетельствовать о существенном вкладе вещества коры в процесс образования расплавов. В то же время при изучении изотопного состава гелия установлено присутствие мантийной составляющей во флюидной фазе гранитоидов. Величина первичного отношения $^4\text{He}/^3\text{He}$ в составе гелия, захваченного при кристаллизации пород, оценивается в $\sim(3-5) \cdot 10^5$. Генетическая интерпретация первичного отношения $^4\text{He}/^3\text{He}$ проведена в рамках смешения гелия континентальной коры и мантийного гелия, за источник которого на основании результатов изучения глубинных ксенолитов принята обогащенная мантия региона. Так как величина отношения $^4\text{He}/^3\text{He}$ в обогащенной мантии и континентальной коре принята соответственно как $6.7 \cdot 10^4$ и $1 \cdot 10^8$, величина $^4\text{He}/^3\text{He} = (3-5) \cdot 10^5$ в гранитах могла быть получена при смешивании мантийного и корового компонентов в пропорции $\sim 1 : (4-7)$. Эти данные определяют мантийно-коровую природу захваченного флюида, в составе которого мантийный компонент составляет $\sim 13-22\%$ [9]. Мантийно-коровая модель происхождения флюида в рассматриваемых гранитоидах хорошо соотносится с петрологической моделью происхождения этих пород, основу которой составляет процесс анатектического плавления коры под воздействием расплавов мантийного генезиса [10].

Таким образом, для большинства протерозойских процессов, проявленных в породах фундамента Печенгского палеорифта, установлена связь с мантийными источниками. Количество протерозойского вещества в архейских породах основания скважины вместе с ремобилизованным материалом архейской коры оценивается как $\geq 30\%$ (амфиболиты $\geq 12-15\%$, жильные граниты $\sim 3\%$, гранитизированные породы $\sim 15\%$).

Исследования проводились при финансовой поддержке РФФИ (гранты 99-05-65158, 00-05-73032, 01-05-64671, 02-05-64394) и INTAS 01-0314.

СПИСОК ЛИТЕРАТУРЫ

1. Кольская сверхглубокая. Научные результаты и опыт исследования / Под ред. В.П. Орлова, Н.П. Лаврова. М.: МФ "Технонефтегаз", 1998.
2. *Condie K.C.* Archean Greenstone Belts. Amsterdam: Elsevier, 1981.
3. *Pearce J.A., Peate D.W.* // Ann. Rev. Earth and Planet. Sci. 1995. V. 23. P. 251-285.
4. *Смолькин В.Ф., Митрофанов Ф.П., Аведисян А.А. и др.* Магматизм, седиментогенез и геодинамика Печенгской палеорифтогенной структуры. Апатиты: Изд-во КНЦ РАН, 1995.
5. *De Paolo D.J.* // Nature. 1981. V. 291. P. 193-196.
6. *Faure G.* Principles of Isotope Geology. N. Y.: Wiley, 1986.
7. *Ветрин В.Р., Гороховский Б.В.* // Петрология. 2002. № 2. С. 210-224.
8. *Timmerman M.J., Daly J.S.* // Precamb. Res. 1995. V. 72. P. 97-107.
9. *Ветрин В.Р., Каменский И.Л., Икорский С.В.* // Петрология. 2002. № 3. С. 270-282.
10. *Ветрин В.Р., Виноградов А.Н., Виноградова Г.В.* В кн.: Интрузивные чарнокиты и порфиридные граниты Кольского полуострова. Апатиты: Изд-во КФАН СССР, 1975. С. 149-316.